

Voronoiova dláždění a Cut-and-Project množiny

Voronoi Tiling and Cut-and-Project Sets

Eduard Šubert
Ing. Petr Ambrož, Ph.D.

FJFI ČVUT v Praze

7. září 2014

1 Jednorozměrné kvazikrystaly

Struktura kvazikrystalu

Řetězce mezer

2 Dvourozměrný kvazikrystal

Voronoiovo dlážďení

Symetrie voronoiových polygonů

Iracionalita β

$$x^2 = 4x - 1$$

$$\beta = 2 + \sqrt{3} \doteq 3.732 \quad \beta' = 2 - \sqrt{3} \doteq 0.268$$

$$\beta = 4 - \beta'$$



Okruh $\mathbb{Z}[\beta]$

$$\mathbb{Z}[\beta] = \{a + b\beta \mid a, b \in \mathbb{Z}\}$$

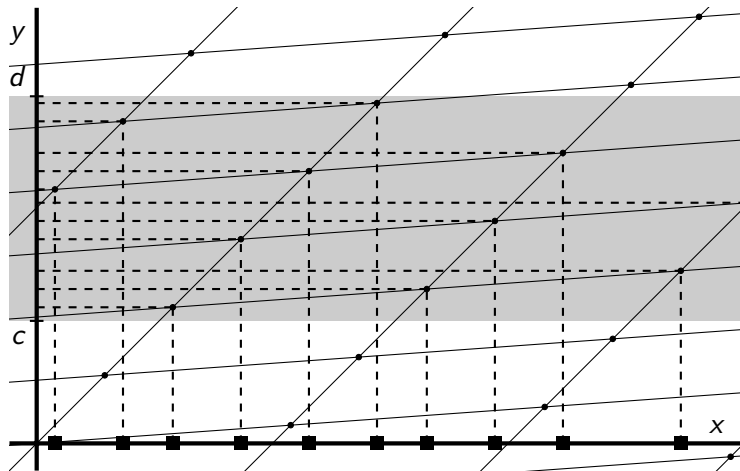
Jednorozměrný kvazikrystal

$$\Sigma(\Omega) = \{x \in \mathbb{Z}[\beta] \mid x' \in \Omega\}$$

$$' : \mathbb{Z}[\beta] \rightarrow \mathbb{Z}[\beta]$$

$$(a + b\beta)' = a + b(\beta').$$

$$\Omega \subset \mathbb{R}$$



Obrázek : Jednorozměrný kvazikrystal:
 souřadnice bodů mřížky $(a + b\beta, a + b\beta')$; $\Omega = [c, d]$

- ❶ $\Omega \subset \tilde{\Omega} \Rightarrow \Sigma(\Omega) \subset \Sigma(\tilde{\Omega})$
- ❷ $\Sigma(\Omega) \cap \Sigma(\tilde{\Omega}) = \Sigma(\Omega \cap \tilde{\Omega})$
- ❸ $\Sigma(\Omega) \cup \Sigma(\tilde{\Omega}) = \Sigma(\Omega \cup \tilde{\Omega})$
- ❹ $\Sigma(\Omega + \lambda') = \Sigma(\Omega) + \lambda$
- ❺ $\Sigma(\beta^k \Omega) = \frac{1}{\beta^k} \Sigma(\Omega)$



Posloupnost bodů kvazikrystalu

Ostře rostoucí posloupnost $(y_n^\Omega)_{n \in \mathbb{Z}}$

$$\Sigma(\Omega) = \left\{ y_n^\Omega \mid n \in \mathbb{Z} \right\}$$



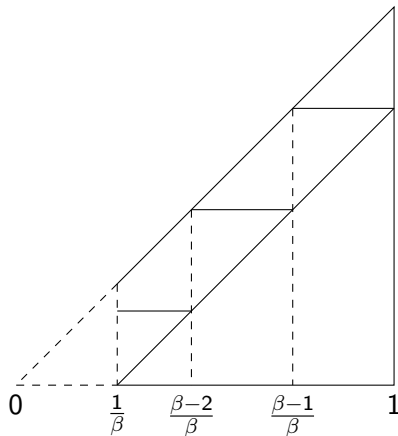
Theorem

Nechť $\Omega = [c, d)$ kde $d - c \in \left(\frac{1}{\beta}, 1\right]$. Pak vzdálenosti $y_{n+1}^\Omega - y_n^\Omega \forall n \in \mathbb{N}$ jsou:

$\left(\frac{1}{\beta}, \frac{\beta-2}{\beta}\right)$	$\frac{\beta-2}{\beta}$	$\left(\frac{\beta-2}{\beta}, \frac{\beta-1}{\beta}\right)$	$\frac{\beta-1}{\beta}$	$\left(\frac{\beta-1}{\beta}, 1\right)$	1
$4\beta - 1$					
$3\beta - 1$	$3\beta - 1$	$3\beta - 1$			
		$2\beta - 1$	$2\beta - 1$	$2\beta - 1$	
β	β	β	β	β	β
				$\beta - 1$	$\beta - 1$



Mezery $y_{n+1}^{\Omega} - y_n^{\Omega}$





Abeceda

$$A = 4\beta - 1$$

$$B = 3\beta - 1$$

$$C = 2\beta - 1$$

$$D = \beta$$

$$E = \beta - 1$$



Krokovací funkce

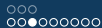
$$f^\Omega : \Omega \rightarrow \Omega$$

$$f^\Omega((y_n^\Omega)') = (y_{n+1}^\Omega)'$$

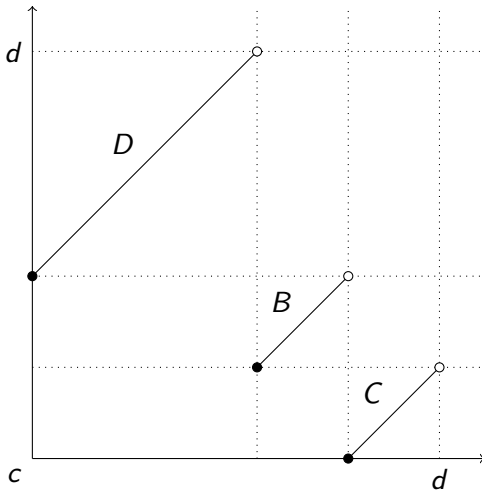
$$d - c \in \left(\frac{1}{\beta}, \frac{\beta-2}{\beta}\right]: f^\Omega(x) = \begin{cases} x + (\beta)' & x \in [c, d - \frac{1}{\beta}) \\ x + (4\beta - 1)' & x \in [d - \frac{1}{\beta}, c + \frac{\beta-3}{\beta}) \\ x + (3\beta - 1)' & x \in [c + \frac{\beta-3}{\beta}, d) \end{cases}$$

$$d - c \in \left(\frac{\beta-2}{\beta}, \frac{\beta-1}{\beta}\right]: f^\Omega(x) = \begin{cases} x + (\beta)' & x \in [c, d - \frac{1}{\beta}) \\ x + (3\beta - 1)' & x \in [d - \frac{1}{\beta}, c + \frac{\beta-2}{\beta}) \\ x + (2\beta - 1)' & x \in [c + \frac{\beta-2}{\beta}, d) \end{cases}$$

$$d - c \in \left(\frac{\beta-1}{\beta}, 1\right]: f^\Omega(x) = \begin{cases} x + (\beta)' & x \in [c, d - \frac{1}{\beta}) \\ x + (2\beta - 1)' & x \in [d - \frac{1}{\beta}, c + \frac{\beta-1}{\beta}) \\ x + (\beta - 1)' & x \in [c + \frac{\beta-1}{\beta}, d) \end{cases}$$



Krokovací funkce pro $d - c = \frac{3\beta - 10}{2}$





Slovo kvazikrystalu

$$\begin{aligned}
 & \left(t_n^\Omega \right)_{-\infty}^{\infty} \\
 d - c \in \left(\frac{1}{\beta}, \frac{\beta-2}{\beta} \right]: \quad & t_n^\Omega = \begin{cases} D & y_{n+1}^\Omega - y_n^\Omega = \beta \\ A & y_{n+1}^\Omega - y_n^\Omega = 4\beta - 1 \\ B & y_{n+1}^\Omega - y_n^\Omega = 3\beta - 1 \end{cases} \\
 d - c \in \left(\frac{\beta-2}{\beta}, \frac{\beta-1}{\beta} \right]: \quad & t_n^\Omega = \begin{cases} D & y_{n+1}^\Omega - y_n^\Omega = \beta \\ B & y_{n+1}^\Omega - y_n^\Omega = 3\beta - 1 \\ C & y_{n+1}^\Omega - y_n^\Omega = 2\beta - 1 \end{cases} \\
 d - c \in \left(\frac{\beta-1}{\beta}, 1 \right]: \quad & t_n^\Omega = \begin{cases} D & y_{n+1}^\Omega - y_n^\Omega = \beta \\ C & y_{n+1}^\Omega - y_n^\Omega = 2\beta - 1 \\ E & y_{n+1}^\Omega - y_n^\Omega = \beta - 1 \end{cases}
 \end{aligned}$$



Komplexita a jazyk

$$\mathcal{C}_\ell(n)$$

počet faktorů délky n

$$\mathcal{L}_\ell(n)$$

faktory délky n

$$|\Omega| = \ell$$

$$\mathcal{C}_\ell(n) = \#\mathcal{L}_\ell(n)$$



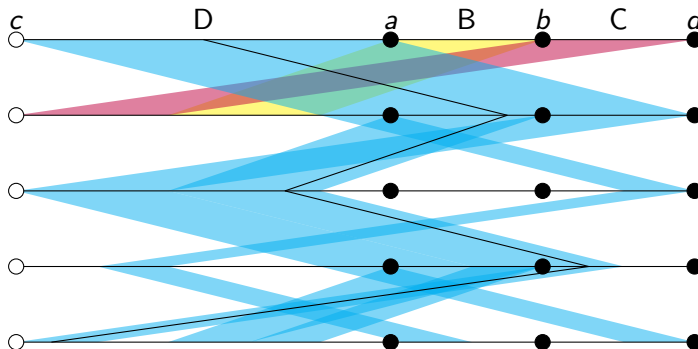
Theorem

$(f^\Omega)^n$ značí n . iteraci krokovací funkce
 množina $D_n = \{z_1 < z_2 < \dots < z_{m-1}\}$ obsahuje všechny body
 nespojitosti $(f^\Omega)^n$ kde $z_0 = c$ a $z_m = d$

Potom $(\forall i \in \hat{m} \cup \{0\})(\forall y_i^{\Omega'}, y_{i+1}^{\Omega'} \in (z_i, z_{i+1}))$ platí,
 že slova $t_l^\Omega t_{l+1}^\Omega \dots t_{l+n-1}^\Omega$ a $t_k^\Omega t_{k+1}^\Omega \dots t_{k+n-1}^\Omega$ se rovnají.



Iterace krokovací funkce: $d - c = \frac{3\beta - 10}{2}$



Theorem

*Nechť $\Omega = [c, c + \ell)$ a $\Sigma(\Omega)$ je příslušný kvazikrystal.
Pokud $\ell \notin \mathbb{Z}[\beta]$, pak*

$$C_\ell(n) = 2n + 1, \forall n \in \mathbb{N}.$$

Pokud $\ell \in \mathbb{Z}[\beta]$, pak $\exists^1 k \in \mathbb{N}$ takové, že $(f^\Omega)^k(a^\Omega) = b^\Omega$ nebo $(f^\Omega)^{k+1}(b^\Omega) = a^\Omega$ a platí

$$C_\ell(n) = \begin{cases} 2n + 1 & \forall n \leq k \\ n + k + 1 & \forall n > k \end{cases}$$



Theorem

Označme množinu

$$\mathcal{D}_n = \left\{ \ell \mid \ell \in \left(\frac{1}{\beta}, 1 \right] \wedge \mathcal{C}_\ell(n) < 2n + 1 \right\}.$$

Pak prvky \mathcal{D}_n dělí interval $I := \left(\frac{1}{\beta}, 1 \right]$ na konečný počet disjunktních podintervalů $(I_m)_{m \in \hat{N}}$ takových, že $\mathcal{L}_{\ell_1}(n) = \mathcal{L}_{\ell_2}(n)$ $\forall \ell_1, \ell_2 \in I_m, \forall m \in \hat{N}$.

Dvourozměrný kvazikrystal

$$\Sigma(\Omega) = \{x \in M \mid x^* \in \Omega\}$$

$$\alpha_1 = (1, 0)$$

$$\alpha_2 = \left(\frac{2 - \beta}{2}, \frac{1}{2} \right)$$

$$\alpha_1^* = \alpha_1$$

$$\alpha_2^* = \left(\frac{\beta - 2}{2}, \frac{1}{2} \right)$$

$$M = \mathbb{Z}[\beta] \alpha_1 + \mathbb{Z}[\beta] \alpha_2$$

$$v^* = (a\alpha_1 + b\alpha_2)^* = a'\alpha_1^* + b'\alpha_2^*$$

$$\begin{aligned}
 \Sigma(\Omega) &= \{x \in M \mid x^* \in \Omega\} \\
 &= \{a\alpha_1 + b\alpha_2 \in M \mid a'\alpha_1 + b'\alpha_3 \in \Omega\} \\
 &= \{a\alpha_1 + b\alpha_2 \in M \mid a' \in l_1 \wedge b' \in l_2\} \\
 &= \Sigma(l_1)\alpha_1 + \Sigma(l_2)\alpha_2
 \end{aligned}$$

Delonovská množina

$$P \subset \mathbb{R}^n$$

$$\forall x, y \in P, x \neq y : r \leq \|x - y\|,$$

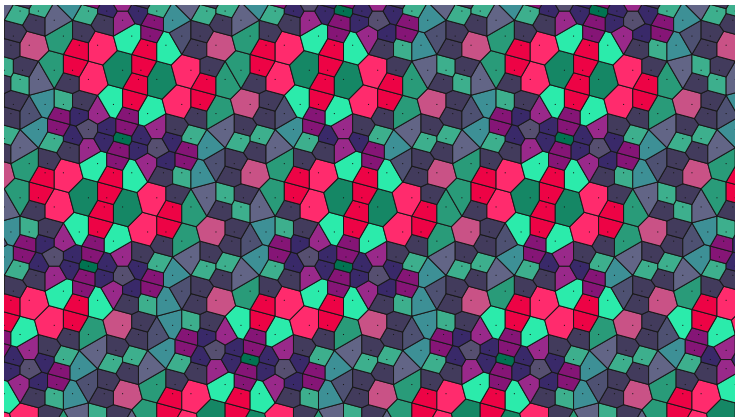
$$\forall z \in \mathbb{R}^n \exists x \in P : \|z - x\| \leq R.$$

$$R_c = \inf\{R > 0 \mid z \in \mathbb{R}^n \exists x \in P : \|z - x\| \leq R\}$$

Voronoiovo dlážďení

$$V(x) = \{y \in \mathbb{R}^2 \mid \forall z \in M, \|y - x\| < \|y - z\|\}$$

$$d - c = \frac{3\beta - 10}{2}$$





Theorem

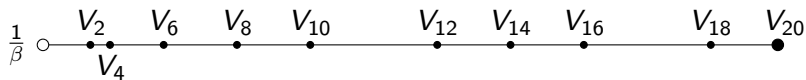
Nechť $\Sigma(\Omega)$ je kvazikrystal s kosočtvercovým oknem

$\Omega = l\alpha_1 + l\alpha_2$. Pro bod $x \in \Sigma(\Omega) : x = y_n'\alpha_1 + y_k'\alpha_2$ označme množinu

$$N_2(x) = \left\{ y_i'\alpha_1 + y_j'\alpha_2 \mid \right. \\ \left. i \in \{n-2, \dots, n+2\}, j \in \{k-2, \dots, k+2\} \right\} \setminus \{x\}$$

tedy 24 bezprostředních sousedů. Pak pro Voronoiovův polygon $V(x)$ platí

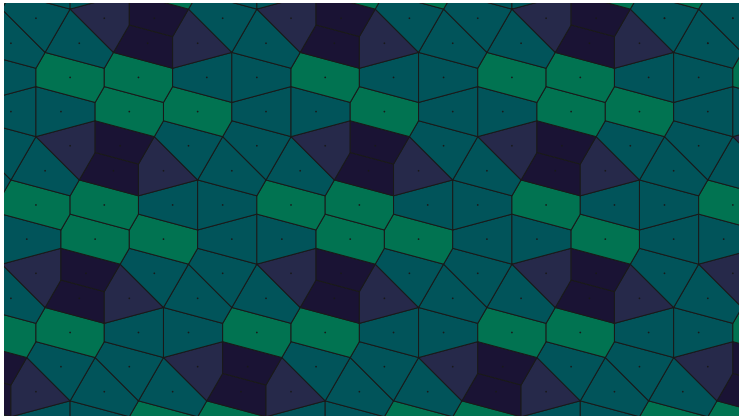
$$V(x) = \{y \in \mathbb{R}^n \mid \forall z \in N_2(x) : \|y - x\| < \|y - z\|\}.$$



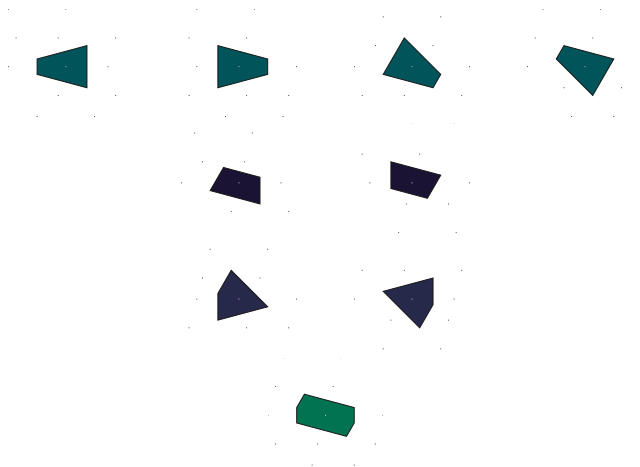
Obrázek : Rozdělení intervalu $\left(\frac{1}{\beta}, 1\right]$ podle jazyků $\mathcal{L}_\ell(4)$.

Symetrie voronoiových polygonů

$$d - c = 1$$

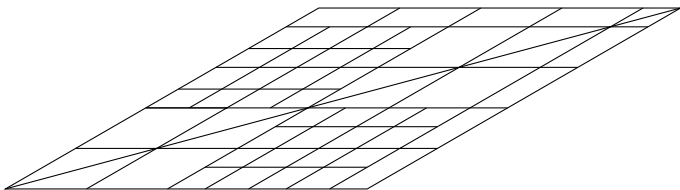


Symetrie voronoiových polygonů $d - c = 1$

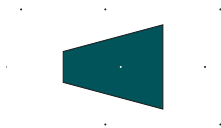


Rozdělení okna kvazikrystalu podle slov $n = 4$:

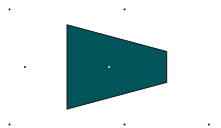
$$d - c = \frac{3\beta - 10}{2}$$



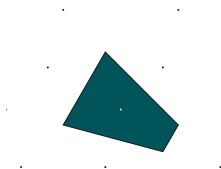
Symetrie voronoiových polygonů



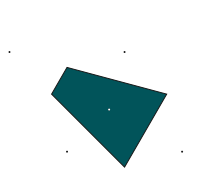
(1) CCDC DCCC



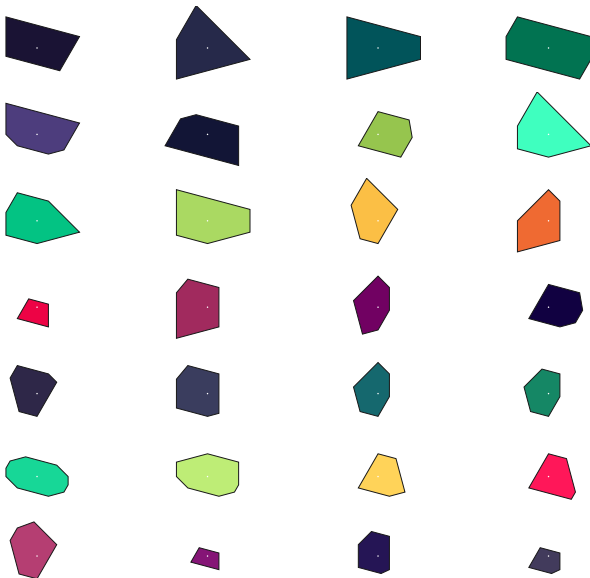
(2) CDCC DCCC

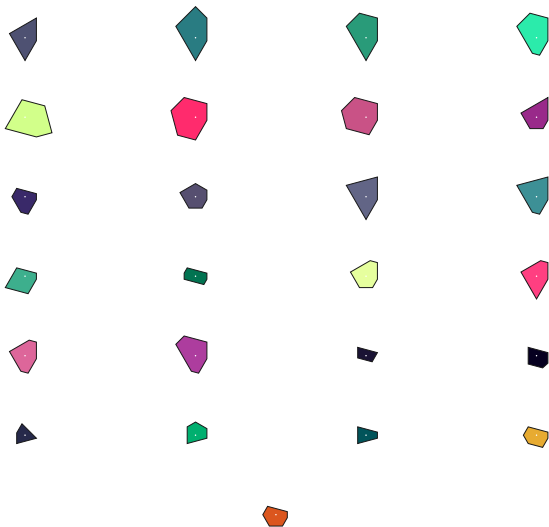


(3) DCCC CCDC



(4) DCCC CDCC










ooo
ooooo

ooooo
ooooo

<http://github.com/edasubert/quasicrystal>
http://youtu.be/97jC8FMX_qI

-  Z MASÁKOVÁ, J PATERA a J ZICH. *Classification of Voronoi and Delone tiles in quasicrystals. I. General method.* J. Phys. A **36** (2003), 1869–1894.
-  L-S GUIMOND, Z MASÁKOVÁ, E PELANTOVÁ. *Combinatorial properties of infinite words associated with cut-and-project sequences.* J. Théor. Nombres Bordeaux **15** (2003), 697–725.
-  J ZICH. *Voronoi & Delone tiling of quasicrystals.* Fakulta jaderná a fyzikálně inženýrská České vysoké učení technické v Praze, 2002. Diplomová práce. Vedoucí práce Z Masáková.
-  J ZICH. *Voronoiovo dlážďení kvazikrystalu.* Fakulta jaderná a fyzikálně inženýrská České vysoké učení technické v Praze, 2000. Výzkumný úkol.
-  D SHECHTMAN, I BLECH, D GRATIAS, J CAHN. *Metallic Phase with Long-Range Orientational Order and No Translational Symmetry.* Physical Review Letters 53 (20), 1951.

Děkuji Ing. Petrovi Ambrožovi, Ph.D. za příkladné vedení mé bakalářské práce a za podnětné návrhy. Také děkuji doc. Ing. Zuzaně Masákové, Ph.D. za rady v teoretické části práce.

Věděli jste, že Jaderka je na YouTube?



<http://youtube.com/videoofjfi>

Pokud kvadratickým číslem rozumíte to, co je obvyklé, tedy iracionální kořen polynomu $Ax^2 + Bx + C$ pro nějaká $A, B, C \in \mathbb{Z}$, pak toto tvrzení neplatí, protože obecně množina $\{a + b\beta \mid a, b \in \mathbb{Z}\}$ není okruh. Jak je třeba tvrzení opravit?

$$x^2 + ax + b$$

$$A|B \text{ a } A|C \implies x^2 = -\frac{B}{A}x - \frac{C}{A}$$

porovnávání v $\mathbb{Z}[\beta]$

$$\begin{aligned} \operatorname{sgn}(az + bz^2 - xc - 2yc)(az + bz^2 - xc - 2yc)^2 \\ < 3\operatorname{sgn}(yc - bz)(yc - bz)^2 \end{aligned}$$

$$\begin{aligned} \frac{a + b\beta}{c} &< \frac{x + y\beta}{z} \\ \frac{a + b(2 + \sqrt{3})}{c} &< \frac{x + y(2 + \sqrt{3})}{z} \\ \frac{1}{cz}((a + 2b)z - (x + 2y)c) &< \frac{1}{cz}\sqrt{3}(yc - bz) \\ (az + 2bz - xc - 2yc)^2 &< 3(yc - bz)^2 \end{aligned}$$